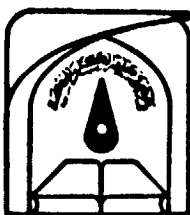


بِسْمِ اللّٰهِ الرَّحْمٰنِ الرَّحِيْمِ

۲۴۹۲۱



دانشگاه تربیت مدرس

دانشکده فنی مهندسی

پایان نامه دوره کارشناسی ارشد مهندسی مکانیک

تبديل انرژی

ناپایداری ناشی از جریان عرضی سیال در خطوط انتقال برق

حمیدرضا عبدالحمدی

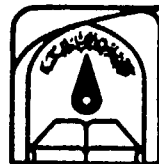
استاد راهنما :

دکتر بهزاد قدیری دهکردی

زمستان ۷۷

۴۴۹۲۱

۱۰/۱۱/۲



دانشگاه تریست مدرس

تاپیدیہ ہیات دا وران

آقای حمیدرضا عبدالحمدی پایان نامه ۶ واحدی خود را با عنوان ناپایداری ناشی از جریان سیال در خطوط انتقال برق در تاریخ ۲۱/۱۱/۷۷ ارائه کردند. اعضای هیات داوران نسخه نهائی این پایان نامه را از نظر فرم و محتوی تایید و پذیرش آنرا برای تکمیل درجه کارشناسی ارشد رشته مهندسی مکانیک با گرایش تبدیل انرژی پیشنهاد می‌کنند.

اعضای هیات داوران	نام و نام خانوادگی	امضاء
۱- استاد راهنمای:	آقای دکتر قدیری	
۲- استاد مشاور:	آقای دکتر حیدری نژاد	
۳- استادان ممتحن:	آقای دکتر نورآذر	
۴- مدیر گروه:	آقای دکتر انصاری	
(یا نماینده گروه تخصصی)		

این نسخه به عنوان نسخه نهایی یا بیان نامه میر سلا، میو د تایید است.



شماره:
تاریخ:
پرست:

آیین نامه چاپ پایان نامه (رساله) های دانشجویان دانشگاه تربیت مدرس

نظر به اینکه چاپ و انتشار پایان نامه (رساله) های تحصیلی دانشجویان دانشگاه تربیت مدرس مبین بخشی از فعالیتهای علمی - پژوهشی دانشگاه است بنابراین به منظور آگاهی و رعایت حقوق دانشگاه، دانش آموزگان این دانشگاه نسبت به رعایت موارد ذیل متعهد می شوند:

ماده ۱ در صورت اقدام به چاپ پایان نامه (رساله) های خود، مراتب را قبل به طور کمی به مرکز نشر دانشگاه اطلاع دهد.

ماده ۲ در صفحه سوم کتاب (یس از برگ شناسنامه)، هیارت ذیل را چاپ کند:
و کتاب حاضر، حاصل پایان نامه کارشناسی ارشد / رساله دکتری نگارنده در رشته مکانیک است
که در سال ۱۳۷۷ در دانشکده فنی و مهندسی دانشگاه تربیت مدرس به راهنمایی سرکار خاتم / جناب آقای دکتر عذری و مشاوره سرکار خاتم / جناب آقای دکتر — از آن دفاع شده است.

ماده ۳ به منظور جبران بخشی از هزینه های نشریات دانشگاه تعداد یک درصد شمارگان کتاب (در هر نوبت چاپ) را به مرکز نشر دانشگاه اهدا کند دانشگاه می تواند مازاد نیاز خود را به نفع مرکز نشر در معرض فروش قرار دهد.

ماده ۴ در صورت عدم رعایت ماده ۳، ۵۰٪ بهای شمارگان چاپ شده را به عنوان خسارت به دانشگاه تربیت مدرس، تأديه کند.

ماده ۵ دانشجو تعهد و قبول می کند در صورت خودداری از پوادخت بھای خسارت، دانشگاه می تواند خسارت مذکور را از طریق مراجع قضایی مطالبه و وصول کند؛ به علاوه به دانشگاه حق می دهد به منظور استیفاده حقوق خود، از طریق دادگاه، معادل وجه مذکور در ماده ۴ و از محل توفیق کتابهای عرضه شده نگارنده برای فروش، تأمین نماید.

ماده ۶ اینجنب حمید رضا عبدالمحمدی دانشجوی رشته مکانیک (تندیل ارزی) مقطع کارشناسی ارشد تعهد فوق وضمانات اجرایی آن را قبول کرده، به آن مکتوم می شویم.

تقدیم به :

مادر و پدر عزیز و مهربانم که زحمات ایشان راه زندگی
را برایم هموار ساخته و همیشه مشوق من بوده‌اند.

تشکر و قدردانی :

پس از سپاس بی پایان پروردگار دادگستر ، برخود لازم می دانم از
زحمات و رهنماهای استاد بزرگوارم جناب آقای دکتر بهزاد
قدیری و همچنین کلیه مسئولین دانشگاه بخصوص کادر دانشکده
فنی تشکر و قدردانی نمایم .

"عبدالحمدی"

بهمن ماه ۷۷

چکیده

هدف از انجام این پروژه تعیین شرایط ناپایداری خطوط انتقال برق در اثر جریان باد می‌باشد. لذا اثر جریان عرضی سیال (ها) روی دو کابل موازی انتقال برق در آرایش‌های مختلف مورد بررسی قرار گرفته است. در ابتدا مکانیزم‌های مختلف ارتعاش مطرح شده است. سپس معادلات حاکم بر کابل پایین‌دست جریان استخراج گردیده و براساس آن آنالیز پایداری صورت گرفته است. در استخراج و ساده سازی معادلات حرکت از فرض quasi- static استفاده شده است.

با توجه به معیار ناپایداری Routh Hurwitz و نتیجه معادلات حرکت از یک برنامه کامپیوتری جهت تعیین مرز ناپایداری بهره گرفته شده است و سپس نتایج برنامه کامپیوتری به صورت منحنی‌های طراحی برای خطوط موازی انتقال برق ارائه گردیده است.

کلمات کلیدی : ارتعاشات ناشی از جریان سیال ، خطوط انتقال برق ، ناپایداری الاستیک سیال

فهرست مطالب

<u>صفحه</u>	<u>عنوان</u>
	فهرست جداول
	فهرست اشکال و منحلی‌ها
	فهرست علائم اختصاری
	فصل اول
	مقدمه
۳	۱- نوسانات ناشی از اختشاش جریان
۴	۲- ارتعاشات در فرکانس طبیعی
۴	۳- ناپایداری الاستیک سیال
۶	۴- فرض جریان بصورت quasi- static
۷	۵- ملاحظات کلی در خطوط انتقال برق و ارتعاشات آنها
۱۰	۶- رژیم‌های آب و هوایی و اقلیمی ایران

الف

فصل دوم

بررسی اثر جریان عرضی سیال روی یک استوانه طویل

۱۱	۱-۱- رژیم جریان
۱۲	۲-۲- عدد استروهال
۱۳	۳-۳- ضرایب نیروی جریان پایدار
۱۵	۴-۴- ضرایب نیروی نوسانی سیال
۱۶	۵-۵- استوانه های ساکن
۱۷	۶-۶- استوانه های نوسانی
۱۷	۷-۷- طول همبستگی
۱۷	۸-۸- اثر میزان اختشاش در ضرایب نیرو
۱۸	۹-۹- پاسخ استوانه در جریان عرضی سیال

فصل سوم

۲۰	۱-۱- دو استوانه در جریان عرضی سیال
۲۱	۱-۱-۱- اثر wake و ناپایداری ناشی از آن
۲۵	۱-۱-۲- آنالیز پایداری
۲۶	۱-۱-۳- خطوط موازی انتقال برق
۲۷	۱-۲-۱- معادلات حرکت برای کابل پایین دست جریان
۳۰	۱-۲-۲- آنالیز پایداری

فصل چهارم

تجزیه و تحلیل نتایج

۳۴	۴-۱- بحث و نتیجه گیری از محلی ها
۳۶	۴-۲- اثر کمیت های فیزیکی مختلف در ناپایداری
۳۸	۴-۳- مقایسه نتایج با نتایج Price

فصل پنجم

- جداول

- اشکال و محلی ها

- مراجع

فهرست علائم و نشانه‌ها

a	دامنه نوسانات استوانه
b = $0.23 [C_D \cdot c(x + x_0)]^{\frac{1}{2}}$	
c	قطر کابل
d	طول خطالمرکزین دو کابل باندل
C_D, C_L	ضرایب پسا و برآ بر اساس جهت جریان
C'_D, C'_L	ضرایب پسا و برآی نوسانی
C_x, C_y	ضرایب پسا و برآ در دو جهت افقی و عمودی
f_n	فرکانس طبیعی کابل
f_s	فرکانس پخش گردابه
F_D, F_L	نیروهای پسا و برآ
g, h	مولفه‌های نیروی سیال در دو جهت x, y
k_{xx}, k_{yy}	ضریب فنریت کابل در دو جهت x, y
K = $\frac{\omega_y}{\omega_x} = \left(\frac{k_{yy}}{k_{xx}} \right)^{\frac{1}{2}}$	نسبت فرکانسهای طبیعی کابل در دو جهت x, y

L	طول کابل
m	جرم واحد طول کابل
N_{st}	عدد استروهال
P	فاصله افقی دو کابل موازی
Re	عدد رنیولدز
T	فاصله عمودی دو کابل موازی
V, V_∞, U, U_∞	سرعت محلی جریان آزاد
V_{loc}	سرعت جریان در wake
$\xi = \frac{V_{loc}}{V}$	نسبت سرعت محلی به سرعت جریان آزاد
α	زاویه حمله
ρ	چگالی سیال (هوای)
$\epsilon = \frac{k_{xy}}{k_{xx}}$	ضریب کوپلینگ
Ω_D, Ω_L	فرکانس نوسانات استوانه در دو جهت نیروی پسا و برآ

فهرست جداول

<u>صفحه</u>	<u>عنوان</u>
..... ۴۰	جدول ۲-۱- نتایج تجربی ضرایب نیرو به صورت تابعی از عدد رینولدز
۴۱	جدول ۲-۲- طول همبستگی برای استوانه‌های صاف

فهرست اشکال و منحنی‌ها

صفحه

شکل

شکل ۱-۱- مکانیزم‌های مختلف تحریک برای یک استوانه در جریان عرضی سیال ۴۲
شکل ۱-۲- چابجایی اغتشاش در جریان عرضی سیال اطراف استوانه ۴۳
شکل ۱-۳- اشکال مختلف ارتعاش در خطوط انتقال برق ۴۴
شکل ۱-۴- مستهلاک کننده ارتعاشات در خطوط انتقال برق ۴۵
شکل ۱-۵- نحوه اتصال کابل به مقره در خطوط انتقال برق ۴۶
شکل ۱-۶- تشکیل خیابان گردابه‌ها در اطراف استوانه در جریان عرضی سیال ۴۷
شکل ۲-۲-a- ارتباط عدد استروهال و عدد رینولدز ۴۸
شکل ۲-۲-b- عدد استروهال برای مجموعه‌ای از سیلندرها در آرایش‌های مختلف ۴۹
شکل ۲-۲-c- عدد استروهال برای یک سیلندر که در کنار سیلندر ساکن قرار دارد ۵۰
شکل ۲-۳- نسبت ضریب پسا برای سیلندر دارای نوسان به ضریب پسا ۵۱ برای سیلندر ساکن بر حسب پارامتر پاسخ
شکل ۲-۴- تغییرات ضریب برآوپسا با دامنه نوسان برای یک سیلندر در حال نوسان ۵۲
شکل ۲-۵- ارتباط ضریب پسای نوسانی و دامنه نوسانات سیلندر ۵۳

..... شکل ۲-۶- ارتباط طول همبستگی و دامنه نوسانات سیلندر	۵۴
..... شکل ۲-۷- یک سیلندر در جریان عرضی سیال	۵۵
..... شکل ۲-۸- نمایش محدوده قفل‌شده سیلندر در جریان عرضی سیال	۵۶
..... شکل ۲-۹- ارتباط دامنه نوسانات سیلندر با نسبت جرمی، در جریان عرضی سیال	۵۷
..... شکل ۳-۱- شکل گردابه‌ها در اطراف یک جفت استوانه در جریان عرضی سیال	۵۸
..... شکل ۳-۲- پروفیل سرعت جریان در منطقه Wake	۵۹
..... شکل ۳-۳- a - ضریب پسا برای استوانه پایین دست جریان	۶۰
..... شکل ۳-۳- b - ضریب برآ برای استوانه پایین دست جریان	۶۱
..... شکل ۳-۳- c - ضریب پسا و برآ برای استوانه پایین دست جریان	۶۲
..... شکل ۳-۴- نمایش نیروهای وارد به استوانه پایین دست جریان	۶۳
..... شکل ۳-۵- محدوده ناپایداری برای استوانه پایین دست جریان (Cooper , 1973)	۶۴
..... شکل ۳-۶- توزیع ضرایب پسا و برآی دائمی در منطقه Wake	۶۵
..... شکل ۳-۷- دیاگرام سرعت نسبی جریان روی استوانه پایین دست جریان	۶۶
..... شکل ۳-۸- a- ضرایب نیرو برای استوانه پایین دست جریان (کابل با سطح صاف)	۶۷
..... شکل ۳-۸- b- ضرایب نیرو برای استوانه پایین دست جریان ، $Re = 2.1 \times 10^4$	۶۸
..... شکل ۳-۸- c- ضرایب نیرو برای استوانه پایین دست جریان ، $Re = 3.58 \times 10^4$	۶۹
..... شکل ۳-۸- d- ضرایب نیرو برای استوانه پایین دست جریان ، $Re = 6 \times 10^4$	۷۰
..... شکل ۳-۸- e- مشتق ضرایب نیروی پسا و برآ برای استوانه پایین دست جریان (با سطح صاف)	۷۱
..... شکل ۴-۱- محدوده ناپایداری برای کابل پایین دست جریان در شرایط فیزیکی مختلف	۷۲
..... شکل ۴-۲- محدوده ناپایداری برای کابل پایین دست جریان در شرایط فیزیکی مختلف	۷۳

۷۴	شکل ۴-۳- محدوده ناپایداری برای کابل پایین دست جریان در شرایط فیزیکی مختلف
۷۵	شکل ۴-۴- محدوده ناپایداری برای کابل پایین دست جریان در شرایط فیزیکی مختلف
۷۶	شکل ۴-۵- محدوده ناپایداری برای کابل پایین دست جریان در شرایط فیزیکی مختلف
۷۷	شکل ۴-۶- محدوده ناپایداری برای کابل پایین دست جریان در شرایط فیزیکی مختلف
۷۸	شکل ۴-۷- محدوده ناپایداری برای کابل پایین دست جریان در شرایط فیزیکی مختلف
۷۹	شکل ۴-۸- محدوده ناپایداری برای کابل پایین دست جریان در شرایط فیزیکی مختلف
۸۰	شکل ۴-۹- محدوده ناپایداری برای کابل پایین دست جریان در شرایط فیزیکی مختلف
۸۱	شکل ۴-۱۰- اثر تغیرات قطر کابل در محدوده ناپایداری
۸۲	شکل ۴-۱۱- اثر سرعت جریان باد در محدوده ناپایداری کابل پایین دست جریان
۸۳	شکل ۴-۱۲- اثر فرکانس طبیعی کابل در محدوده ناپایداری
۸۴	شکل ۴-۱۳- اثر جرم واحد طول کابل در محدوده ناپایداری
۸۵	شکل ۴-۱۴- اثر تغیرات نسبت فرکانسهای طبیعی ($k = \frac{k_{xx}}{k_{yy}}$) در محدوده ناپایداری
۸۶	شکل ۴-۱۵- اثر تغیرات نسبت کوپلینگ ($\epsilon = \frac{k_{xy}}{k_{xx}}$) در محدوده ناپایداری
۸۷	شکل ۴-۱۶- محدوده ناپایداری برای کابل پایین دست جریان در نسبت فرکانسهای مختلف
۸۸	شکل ۴-۱۷- محدوده ناپایداری برای کابل پایین دست جریان
۸۹	شکل ۴-۱۸- محدوده ناپایداری برای کابل پایین دست جریان (مقایسه نتایج)
۹۰	شکل ۴-۱۹- محدوده ناپایداری برای کابل پایین دست جریان (مقایسه نتایج)
۹۱	شکل ۴-۲۰- محدوده ناپایداری برای کابل پایین دست جریان (مقایسه نتایج)
۹۲	شکل ۴-۲۱- محدوده ناپایداری برای کابل پایین دست جریان (مقایسه نتایج)